

$xRO_{1.5}$	$\lg \rho^*$ (ОМ · СМ)	E_p^{**} эВ	$xRO_{1.5}$	$\lg \rho^*$ (ОМ · СМ)	E_p^{**} эВ
30AsO _{1.5}	8.0	1.03	10BiO _{1.5}	6.16	0.85
10SbO _{1.5}	6.0—6.5	—	20 »	6.0—7.0	—
20 »	5.4—7.4	—	10FeO _{1.5}	6.0	0.88
30 »	7.26—8.22	—	20 »	7.66	1.00

* При 20°.

** Расчет по формуле $\rho = \rho_0 \exp(E_p/2kT)$ в интервале 20—250°.

Baltă, Velea, 1963a, 1963b; Балта, Веля, 1964.

Температура 20°. Синтез в фарфоровых тиглях.

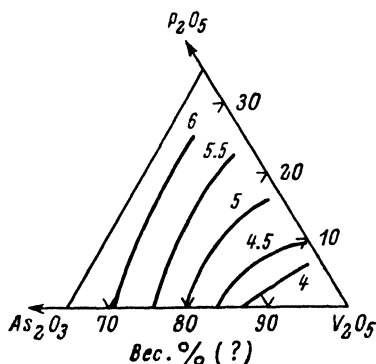


Рис. 323. Цифры у кривых -- $\lg \rho$ (ОМ · СМ).

Матвеев, Ходский, Фисюк, 1968.

Метод моста переменного тока. Синтез в корундовых тиглях.

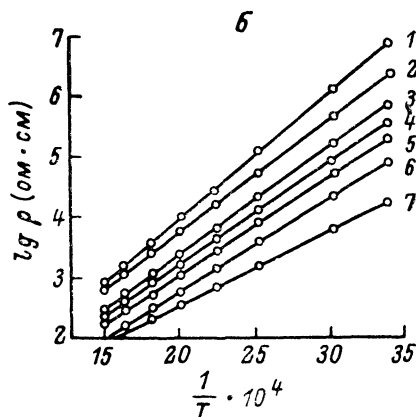
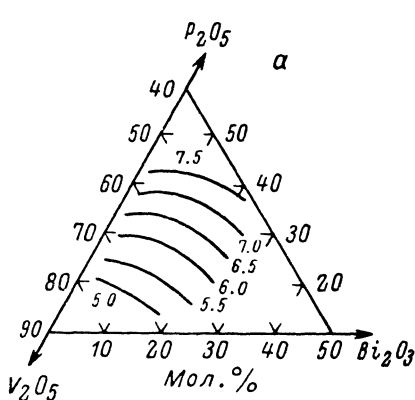


Рис. 324. а — цифры у кривых — $\lg \rho$ (ОМ · СМ) при 20°; б — содержание, мол. % по синтезу: 1 — 10Bi₂O₃, 55V₂O₅; 2 — 10Bi₂O₃, 60V₂O₅; 3 — 10Bi₂O₃, 65V₂O₅; 4 — 15Bi₂O₃, 65V₂O₅; 5 — 10Bi₂O₃, 70V₂O₅; 6 — 5Bi₂O₃, 75V₂O₅; 7 — 5Bi₂O₃, 80V₂O₅.